

электростатическое и спин-орбитальное взаимодействие, но лишь между вырожденными в кулоновском приближении конфигурациями. Во всех вариантах расчетов ширины АС вычислялись с кулоновской функцией непрерывного спектра в поле заряда ($Z=1$).

Из таблицы видно, что учет смешивания конфигураций по главному квантовому числу приводит к незначительным изменениям энергий возбуждения и ширины рассмотренных АУ, тогда как включение спин-орбитального взаимодействия существенно влияет на их характеристики. Отношение парциальных ширин, соответствующих автоионизационным переходам с изменением мультиплетности, к полной ширине АУ показывает, что более сильно изменяются при этом ширины триплетных АС. Сравнение полученных результатов с расчетами, выполненными на основе теории возмущений и включающими полностью оператор Брейта [5], показывает, что в расчетах ширин АУ ионов железа в приближении промежуточной связи можно ограничиться включением лишь одночастичного оператора спин-орбитального взаимодействия.

Авторы выражают благодарность Ю. К. Земцову за помощь, оказанную при использовании алгоритма расчета автоионизационных ширин.

СПИСОК ЛИТЕРАТУРЫ

- [1] Балашов В. В., Гришанова С. И., Круглова И. М., Сенашенко В. С. Резонансная фотоионизация гелия и гелиеподобных ионов. — *Опт. и спектр.*, 1970, 28, с. 859—868. [2] Балашов В. В., Липовецкий С. С., Павличенков А. В., Полюдов А. Н., Сенашенко В. С. Автоионизационные состояния в гелиеподобных ионах. — *Вестн. Моск. ун-та. Сер. Физ. Астрон.*, 1971, 12, № 1, с. 65—74. [3] Юцис А. П., Савукина А. Ю. Математические основы теории атома. Вильнюс, 1973, с. 59. [4] Земцов Ю. К. Расчет вероятностей автоионизации для гелия и гелиеподобных ионов. — *Опт. и спектр.*, 1974, 37, с. 626—632. [5] Вайнштейн Л. А., Сафронова У. И. Длины волн и вероятности переходов для ионов. — *Препринт № 6 ИС АН СССР, М.*, 1975, с. 51.

Поступила в редакцию
09.06.80

ВЕСТН. МОСК. УН-ТА. СЕР. 3. ФИЗИКА. АСТРОНОМИЯ, 1981, т. 22, № 2

УДК 530.12:531.51

ДИАГРАММА ТИПА ПЕНРОУЗА ДЛЯ АЛГЕБРАИЧЕСКОЙ КЛАССИФИКАЦИИ ЭЛЕКТРОМАГНИТНЫХ ПОЛЕЙ

В. В. Кислов

(кафедра теоретической физики)

В развитии теории гравитации важную роль сыграла (и продолжает играть) установленная А. З. Петровым [1] алгебраическая классификация пространств Эйнштейна. Эта классификация оказалась чрезвычайно плодотворной для нахождения новых точных решений уравнений Эйнштейна, а также для разработки критериев гравитационного излучения [2].

Аналогичная алгебраическая классификация может быть разработана и для электромагнитного поля, что неоднократно отмечалось рядом авторов [3, 4, 5]. Однако в литературе в явном виде отсутствует такая классификация электромагнитного поля на основе исследования характеристических λ -матриц, хотя именно такая классификация Петрова для гравитационного поля в настоящее время является общепризнанной. Например, в работе Билялова [5] побочно рассматривается

классификация электромагнитного поля, но она оказывается беднее классификации, проведенной с использованием λ -матриц. В частности, совсем выпадает тип Д электромагнитного поля (см. далее).

Цель данной работы состоит в том, чтобы распространить классификацию Петрова на случай электромагнитного поля. Строится диаграмма, аналогичная диаграмме Пенроуза [6] для гравитационного поля. Этот подход применим также и для алгебраической классификации гравитационных волн. Аналогия с электромагнитными волнами свидетельствует в пользу критерия Лихнеровича, согласно которому гравитационные волны описываются метриками подтипа N по Петрову.

Иследуем алгебраическую структуру тензора электромагнитного поля $F_{\mu\nu}$ на основе изучения λ -матрицы: $|F_{\mu\nu} - \lambda g_{\mu\nu}|$. Тип поля будет определяться характеристикой λ -матрицы, приведенной к каноническому виду, причем он будет сохраняться в той области, где эта характеристика не меняется. Характеристическое уравнение $\|F_{\mu\nu} - \lambda g_{\mu\nu}\| = 0$ запишется в виде: $\lambda^4 + I_1 \lambda^2 - I_2^2 = 0$, где

$$I_1 = H^2 - E^2 \equiv F_{\mu\nu} F^{\mu\nu}; \quad I_2 = (\mathbf{E}, \mathbf{H}) \equiv \varepsilon_{\alpha\beta\gamma\delta}^{\alpha\beta} F^{\mu\nu} F_{\alpha\beta}.$$

Пусть точке P отвечает λ -матрица с системой элементарных делителей:

$$\left\{ \begin{array}{l} (\lambda - \lambda_1)^{m_1}, (\lambda - \lambda_2)^{m_1'}, (\lambda - \lambda_3)^{m_1''} \dots \\ (\lambda - \lambda_1)^{m_2}, (\lambda - \lambda_2)^{m_2'} \dots \\ \dots \end{array} \right.$$

Тогда этой λ -матрице отвечает характеристика $[(m_1, m_2 \dots), (m_1', m_2' \dots) \dots]$, определяющая тип пространства в этой области A , где она не меняется. Инварианты λ_i , базисы элементарных делителей, будут в то же время корнями характеристического уравнения: $\|F_{\mu\nu} - \lambda g_{\mu\nu}\| = 0$. Однако в области A возможно совпадение на некоторых многообразиях базисов $\lambda_i(x)$ элементарных делителей. Эти многообразия будут описываться уравнениями вида: $\lambda_i(x) - \lambda_j(x) = 0$. Элементарные делители будут иметь вид: $(\lambda - \lambda_1)^p, (\lambda - \lambda_2)^q \dots$, характеристика будет вида $[p, q \dots]$, а на указанной гиперповерхности $[(p, q) \dots]$ (т. е. в области A вообще $\lambda_1 \neq \lambda_2$, но в некоторой подобласти они равны, и поэтому p и q отвечают одному и тому же базисному делителю). Путем непосредственного приведения λ -матрицы к каноническому виду получим в случае $I_1 \neq 0, I_2 \neq 0$:

$$\begin{pmatrix} -1 & 0 & 0 & 0 \\ 0 & 1 & 0 & 0 \\ 0 & 0 & 1 & 0 \\ 0 & 0 & 0 & \lambda^4 + I_1 \lambda^2 - I_2^2 \end{pmatrix}. \quad (1.1)$$

Такой вид λ -матрицы сохранится и для случая $I_1 = 0, I_2 \neq 0$. В случае $I_1 \neq 0, I_2 = 0$ находим следующий канонический вид λ -матрицы, указанный в формуле (1.2). Этот же вид сохраняется для случая $I_1 = 0, I_2 = 0$; он дается формулой (1.3).

$$\begin{pmatrix} -1 & 0 & 0 & 0 \\ 0 & 1 & 0 & 0 \\ 0 & 0 & \lambda & 0 \\ 0 & 0 & 0 & \lambda(\lambda^2 + I_1) \end{pmatrix} \quad (1.2); \quad \begin{pmatrix} -1 & 0 & 0 & 0 \\ 0 & 1 & 0 & 0 \\ 0 & 0 & \lambda & 0 \\ 0 & 0 & 0 & \lambda^3 \end{pmatrix} \quad (1.3)$$

Важно отметить, что для электромагнитного поля не может быть типа, определяемого характеристикой $[(2,2)]$, т. е. матрицей вида:

$$\begin{pmatrix} -1 & 0 & 0 & 0 \\ 0 & 1 & 0 & 0 \\ 0 & 0 & \lambda^2 & 0 \\ 0 & 0 & 0 & \lambda^2 \end{pmatrix},$$

так как из непосредственного приведения λ -матрицы к каноническому виду в случае $I_1=0, I_2=0$ для такого вида матрицы с необходимостью следует $\mathbf{H} \parallel \mathbf{E}$, но в силу $I_2=0 \Rightarrow \mathbf{H} \perp \mathbf{E}$ и учитывая $I_1=0 \Rightarrow \mathbf{H}=\mathbf{E}=0$, находим, что такая ситуация может возникнуть только для тривиального случая.

Общеизвестна диаграмма Пенроуза классификации гравитационного поля с помощью λ -матриц по тензору кривизны или по тензору Вейля (рис. 1)*. Аналогичная диаграмма построена для электромагнитного поля (рис. 2).

Диаграмма рис. 2 позволяет по-новому взглянуть на некоторые типы гравитационного поля. Для типа $N[(1,3)]$ электромагнитного по-

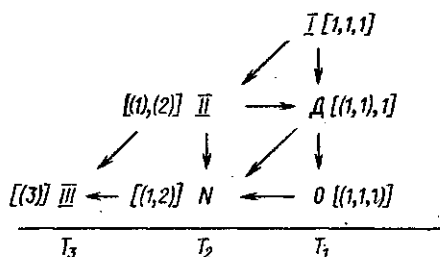


Рис. 1

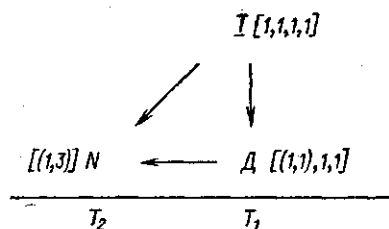


Рис. 2

ля $I_1=I_2=0$, т. е. $\mathbf{E}=\mathbf{H}$, $\mathbf{E} \perp \mathbf{H}$; значит, тип N содержит в себе электромагнитные волны. (Вообще говоря, тип N не исчерпывается электромагнитными волнами.) По типу характеристики ему соответствует тип N гравитационного поля. Поэтому естественно предположить, что гравитационные волны должны описываться метриками, относящимися к типу N гравитационного поля. Далее, тип D электромагнитного поля соответствует случаю $I_2=0$; в частности, сюда входит кулоновское решение для $\mathbf{H}=0$. Метрика Шварцшильда также входит в множество пространств типа $D[(1,1)1]$ и соответствует кулоновскому полю. Заметим, что она не исчерпывает всего типа D .

Интересно, что из всего множества возможных канонических типов λ -матриц для электромагнитного поля «выживают» только три. Встает вопрос: почему не реализуются другие типы? Это связано, по видимому, со свойствами тензора электромагнитного поля $F_{\mu\nu}$. В частности, вместо двух типов $N[(1,3)]$ и $\text{III}[(1,3)]$ остается только первый, а тип III реализоваться не может из-за антисимметрии тензора электромагнитного поля, и в частности равенства нулю коэффициента при λ^3 в характеристическом уравнении: получим при $I_1=I_2=0$: $\lambda^4=0$, т. е. все четыре корня совпадают. Аналогичная ситуация наблюдается и для некоторых других типов электромагнитного поля, ожидаемых формально.

* Мы записываем здесь только половину характеристики, опуская комплексно-сопряженную часть.

Автор выражает искреннюю благодарность научному руководителю, докт. физ.-мат. наук Ю. С. Владимирову за постановку задачи, обсуждение результатов и постоянное внимание к работе.

СПИСОК ЛИТЕРАТУРЫ

- [1] Петров А. З. Новые методы в общей теории относительности. М., 1966, с. 101—133. [2] Захаров В. Д. Гравитационные волны в теории тяготения Эйнштейна. М., 1972, 199 с. [3] Фролов В. П. Метод Ньюмана—Пенроуза в ОТО. — Препринт ФИАН, 1977, № 96. [4] Zund J. D., Brown Ezra. The theory of bivectors. — Tensor, 1971, 22, N 2, p. 179—185. Debney G. G., Zund J. D. The theory of bivectors. — Tensor, 1971, 22, N 2, p. 333—339. [5] Билялов Р. Ф. Тензор кривизны пространства-времени как когреддиентная функция метрического и кососимметрического тензоров. — В кн.: Гравитация и теория относительности. Казань, 1967, вып. 3, с. 148—154. [6] Penrose R. A spinor approach to general relativity. — Ann. Phys. (USA), 1960, 10, N 2, p. 171—201.

Поступила в редакцию
01.09.80

ВЕСТН. МОСК. УН-ТА. СЕР. 3. ФИЗИКА. АСТРОНОМИЯ, 1981, т. 22, № 2

УДК 548.735

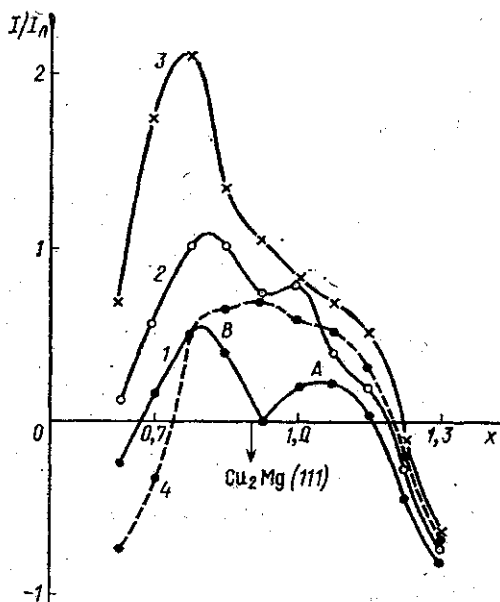
О КИНЕТИКЕ РАСПАДА СПЛАВА $\text{Cu}-5,5 \text{ ат. \% Mg}$ ПРИ ЕСТЕСТВЕННОМ СТАРЕНИИ (по диффузному рассеянию рентгеновских лучей от поликристаллов)

Я. И. Граевская, А. П. Звягина, В. И. Иверонова

(кафедра общей физики для физического факультета)

В работе [1] сообщалось, что процесс распада твердого раствора удается наблюдать, анализируя картину диффузного рассеяния рентгеновских лучей от поликристаллов. В частности, при изучении в [1] сплава $\text{Cu}-4,5 \text{ ат. \% Mg}$, закаленного с температуры 600°C и длительное время выдержанного при комнатной температуре, было обнаружено появление диффузного максимума вблизи угла, соответствующего первой линии (111) фазы Лавеса Cu_2Mg [2, 3]. Это свидетельствовало о наличии в сплаве зародышей фазы Cu_2Mg , выпадающих при температурах ($< 500^\circ\text{C}$), соответствующих пределу растворимости Mg в Cu меньше 4,5 ат. %.

Для изучения начальных стадий естественного старения была проведена новая серия опытов со сплавом близкого со-



Для изучения начальных стадий естественного старения была проведена новая серия опытов со сплавом близкого со-

Кривые интенсивности диффузного рассеяния сплава $\text{Cu}-5,5 \text{ ат. \% Mg}$; кривая 1 снята на второй день после отжига, 2 — через 3, 3 — через 6, 4 — через 20 дней; $x = 2a \sin \phi / \lambda$, a — параметр решетчатой матрицы, I/I_0 — интенсивность диффузного рассеяния, отнесенная к лауэвскому фону